

津波ブロック堤による波のエネルギー遮蔽とその遮蔽機構について

愛媛大学工学部

正員 中村孝平

東亞エンジニアリング(株) 正員 奥吉雄

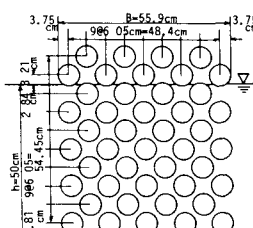
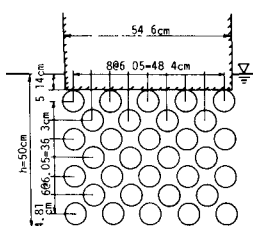
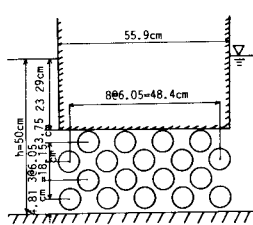
日本海工講

本多典久

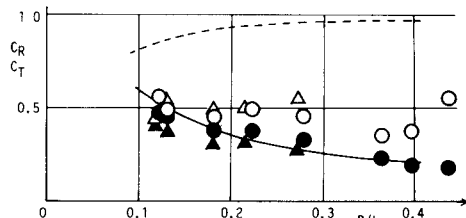
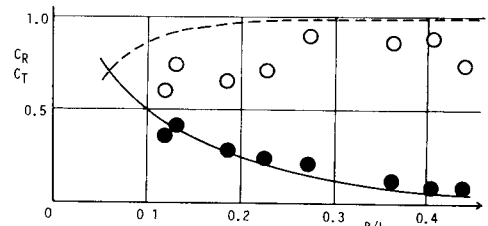
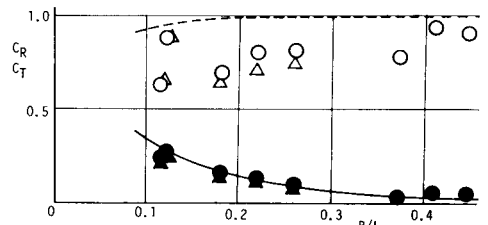
1. まえがき：既に著者らの中の一人¹⁾は、ブロック堤周りの波変形の予測という観点より、部材の形状やその配置の効果が考慮できる波浪不整形問題の解析法のブロック堤への適用性について明らかにすると共に適用にあたり問題となる水面上に位置する部材の簡単な取り扱い法などについて示してきた。これに引き続き本研究では、ブロック堤において重要となる波のエネルギー遮蔽の実態について明らかにすると共にその遮蔽機構についても前研究¹⁾で部分的に見い出された波面と水面付近の部材との衝突現象に着目して実験的に検討を進める。またブロック堤を均質な透水層で近似する従来の解析法²⁾による波変形およびエネルギー遮蔽の算定を行ない、実測結果との比較の上でその妥当性を検討してみた。

2. 実験装置および実験方法：(1) 模型堤体；ブロック堤の模型は、図-1(a)～(c)に示す3種類のものを用いた。構成部材に直径7.5cmの錆ビパイプを用い、千鳥配置で空隙率n=0.46となるように規則的に配列してある。図-1(b)，(c)は、(a)に比較して水面付近にある部材と波面との衝突が生じないよう上部の部材を取り除き、不透過堤と置換したものである。

(2) 実験方法；実験は、幅1m高さ1.25m、長さ28mの2次元造波水槽を用いて行った。水槽内には、その幅を2分するように隔壁板と設け、一方の水路にのみ上記の模型堤体を設置した。そしてもう一方の水路で入射波の測定を行った。反射率CRは、堤体の反射波測定の2点で測定した水面変動記録より合田らの入・反射波の干涉推定法を用いて求めた。また、透過率CTは、直接に測定した透過波より求め、エネルギー遮蔽率 ϵ_w は、これらCR, CTより $\epsilon_w = 1 - CR^2 - CT^2$ により算出した。用いた波条件は、周期Tが0.9～2.3secの間の8種類、入射波高Hが7.5, 15cmの2種類である(碎波する場合を除く)。また静水深H₀は50cmと一定とした。

図-1(a) 直立ブロック堤の模型
(n=0.46)図-1(b) 上部不透過ブロック堤
 $d/H = 0.10$ 図-1(c) 上部不透過ブロック堤
 $d/H = 0.46$

C_T	EXP.		CAL.		
	H/H	SYM.	C_R	H/H	SYM.
0.15	●	▲	—	0.15	△
0.30	●	▲	---	0.30	△

図-2 直立ブロック堤の C_R, C_T ($n=0.46$)図-3 上部不透過ブロック堤の C_R, C_T ($d/H = 0.10$)図-4 上部不透過ブロック堤の C_R, C_T ($d/H = 0.46$)

3. ブロック堤の透過率および反射率：図-2～4は、図-1(a)～(c)に示すブロック堤の C_R 、 C_T に関する実測結果と波浪ボテンシャル問題の解析法の一つであるクーラン関数法³⁾による算定結果との比較を示すもので横軸に B/L (B :堤体幅、 L :入射波の波長)をとって表示してある。これらの図より、各ブロック堤の C_T は、ボテンシャル理論によりほぼ予測できることや C_T は上部を不透過堤にすると小さくなることなどがわかる。一方 C_R は、ブロック堤では図-2に見られるように実測値と算定値との間に大きな差異があるが、上部を不透過堤にすると両者の差異が減少し、 C_R の実測値はボテンシャル理論による算定値に近づくことが認められる。このようにブロック堤の上部を不透過堤と置換すると C_R 、 C_T は、ボテンシャル理論による算定値に近づくことから、図-2に見られる C_R の実測値と算定値との差異は水面付近に位置する部材と波面との衝突現象によって生じるエネルギー逸散によるものと考えられる。このことは、各ブロック堤のエネルギー逸散率 ϵ_w を示す図-5からも確認でき、 B/L が0.2以上の中周期より短周期の波浪に対して上記の衝突現象によるエネルギー逸散が顕著になることがわかる。そして図-1(b)と(c)の堤体の ϵ_w の比較から、円柱部材の本数がほぼ半減しても ϵ_w には大きな差異が見られず、エネルギー逸散が主として部材の摩擦抵抗力に起因するものであるとする従来の解析は必ずしも妥当なものとは言い難い。

4. エネルギー逸散を考慮した従来の解析法による算定結果との比較：図-6は、Sollittらの解析法²⁾による図1(a)の堤体の C_R 、 C_T の算定結果と上述した実測結果との比較を示す。この解析法では、ブロック堤体内の固体部に作用する摩擦抵抗力および慣性力は実験的に与えられており、摩擦抵抗係数や慣性係数が必要となる。また摩擦抵抗力 F_d の表現式には、層流、乱流抵抗を考慮した式(1)が用いられている。

$$F_d = \alpha \eta \beta + \beta \eta^2 \gamma \beta \quad (1)$$

ここでは、抵抗係数 α 、 β に近藤ら⁴⁾による円柱の立体格子の堤体に対する無次元抵抗係数 $\alpha_0 = 750$ 、 $\beta_0 = 0.35$ を採用して求められる $\alpha = 0.134$ 、 $\beta = 0.268$ が適用できるものとした。また慣性係数 C_I は、従来と同様に $C_I = 0$ で近似できることとした。

図-6より、 C_R の算定結果は実測結果にほぼ一致しているものの C_T については算定結果が実測結果よりかなり大きくなっている。この傾向は、本研究を行なった他の空隙率の堤体の場合にも確認されており、単に堤体内的摩擦抵抗力による波の変形機構のみを考える従来の解析法では十分でなく、3. で述べた解析結果に暗に含まれている慣性力の効果等を含めた算定が是非必要になるものと言えよう。またこの解析による ϵ_w の算定結果を図-5中に実線で示すが、実測結果との対応は十分ではなく、逸散機構に対する再検討が必要と考えられる。

5. 総括：以上の検討より、ブロック堤による波のエネルギー逸散は、比較的短周期波側の波条件の場合、主として水面付近に位置する部材と波面との衝突現象に起因するものであることが明らかとなった。

(参考文献)

- 1) 中村、小笠原：「ブロック堤まわりの波変形に及ぼす水面近傍の部材の効果について」、土木学会第40回年講第2部、pp.581-582、1985.
- 2) Sollitt, C.K. and Cross, R.H. : 'Wave Transmission through permeable breakwaters', Proc. of 19th ICCE, ASCE, pp.1827-1846, 1972.
- 3) 中村：「津波防護構造物の波浪遮蔽性能問題に関する解説」、第30回海講論文集、pp.410-414、1983.
- 4) 近藤、竹田：「津波構造物、森北出版、pp.9、1983.

- ブロック堤 ($n = 0.46$)
- 上部不透過ブロック堤 ($\alpha/\alpha_0 = 0.10$)
- ク ($\alpha/\alpha_0 = 0.46$)

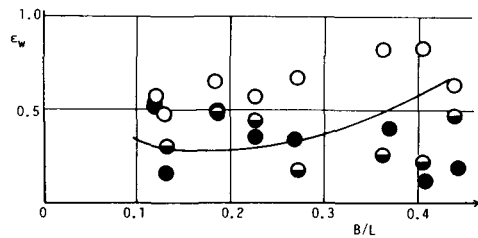


図-5 各ブロック堤のエネルギー逸散率 ϵ_w

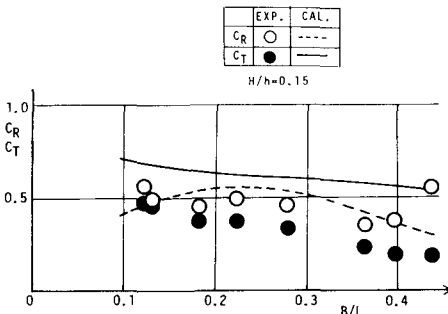


図-6 従来の解析法による C_R 、 C_T の算定結果